



Cardiocore

ISSN: 1889-898X

cardiocore@elsevier.com

Sociedad Andaluza de Cardiología

España

Arrebola-Moreno, Antonio Luis; González-Molina, Mercedes  
Embolismo renal secundario a trombo intraventricular izquierdo post-infarto agudo de miocardio  
Cardiocore, vol. 46, núm. 4, 2011, pp. e69-e71  
Sociedad Andaluza de Cardiología  
Barcelona, España

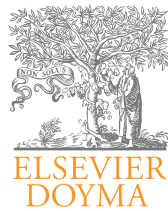
Disponible en: <http://www.redalyc.org/articulo.oa?id=277022030006>

- Cómo citar el artículo
- Número completo
- Más información del artículo
- Página de la revista en [redalyc.org](http://redalyc.org)

redalyc.org

Sistema de Información Científica

Red de Revistas Científicas de América Latina, el Caribe, España y Portugal  
Proyecto académico sin fines de lucro, desarrollado bajo la iniciativa de acceso abierto



## Observación clínica

# Embolismo renal secundario a trombo intraventricular izquierdo post-infarto agudo de miocardio

Antonio Luis Arrebola-Moreno\* y Mercedes González-Molina

Hospital Universitario Virgen de las Nieves, Granada, España

### INFORMACIÓN DEL ARTÍCULO

#### Palabras clave:

Embolismo renal  
Trombo intraventricular  
Infarto agudo de miocardio

### R E S U M E N

Presentamos el caso de un paciente que tras sufrir un infarto agudo de miocardio presenta como complicación un trombo intraventricular que a su vez provoca un embolismo renal.

© 2010 SAC. Publicado por Elsevier España, S.L. Todos los derechos reservados.

#### Keywords:

Renal embolism  
Intraventricular thrombus  
Acute myocardial infarction

### Renal embolism secondary to left intraventricular thrombus post-acute myocardial infarction

### A B S T R A C T

We present a case of renal embolism (intraventricular thrombus) as a complication after acute myocardial infarction.

© 2010 SAC. Published by Elsevier España, S.L. All rights reserved.

Comunicamos el caso de un paciente de 50 años con antecedentes de diabetes mellitus no insulinodependiente, hernia de hiato, ex fumador y con antecedentes familiares de cardiopatía isquémica. Acudió a urgencias por cuadro clínico y eléctrico de infarto agudo de miocardio con elevación del ST (IAM-CEST) anterolateral tratado inicialmente con fibrinólisis. Ante la ausencia de criterios de reperfusión, se realizó angioplastia de rescate a lesión severa de descendente anterior sobre la que se implantaron dos stents recubiertos de paclitaxel, alcanzando pico de TnI >100 ng. Se realizó ecocardiograma inicial que mostró ventrículo izquierdo no dilatado, adelgazamiento y disquinesia de la zona septal media y apical y fracción de eyeción (FE) del 35%.

Cuatro días después, un control ecocardiográfico mostraba similares alteraciones segmentarias y FE, además de una

imagen de alta ecogenicidad de 19 × 24 mm, de localización apical, compatible con trombo intraventricular (TI) (fig. 1A). Se inició anticoagulación con enoxaparina a dosis terapéutica. Pocos días después persistía el trombo con base de implantación inferior apical, de menor tamaño pero mayor movilidad (fig. 1B). El décimo día de evolución comenzó con dolor localizado en la fossa renal izquierda (FRI), resistente a la analgesia. En la exploración presentaba dolor a presión de FRI con percusión renal negativa. Analíticamente destacaba la lactato deshidrogenasa (LDH) de 2.289 mg/dl (previa de 1.430 mg/dl), leucocitos de 17.300, polimorfonucleares (PMN) del 83% y creatinina de 1,32 mg/dl (previa de 1).

Ante la sospecha de embolia renal se realizó TAC helicoidal abdominal con contraste intravenoso y reconstrucción tridimensional, que mostró múltiples áreas de ausencia de re-

\* Autor para correspondencia.

Correo electrónico: [alam\\_1981@hotmail.com](mailto:alam_1981@hotmail.com) (A.L. Arrebola-Moreno).

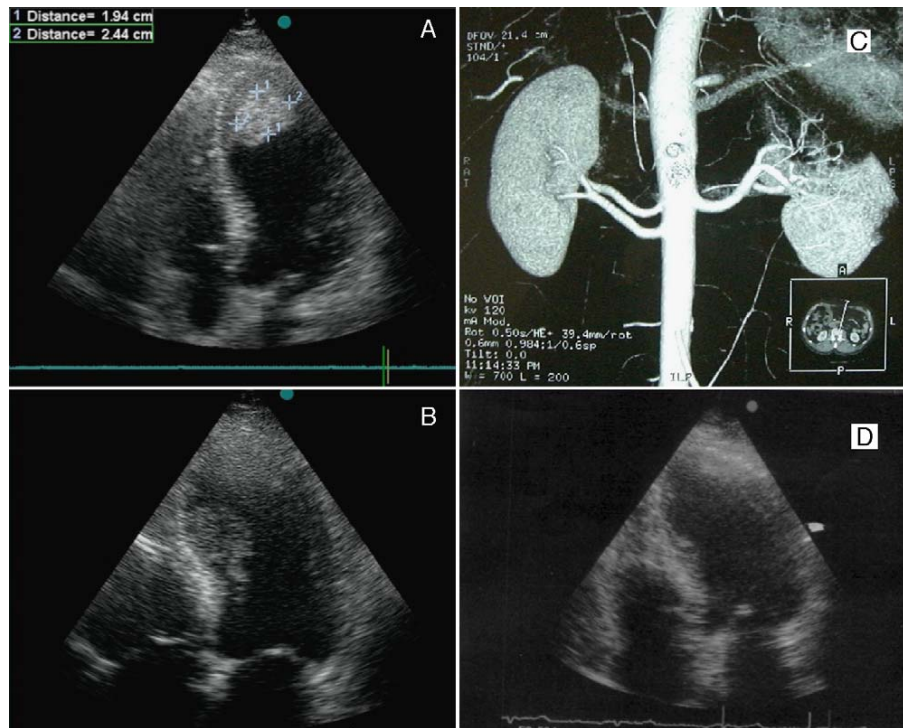


Figura 1 – Imagen ecocardiográfica que muestra: A) Presencia de gran trombo intraventricular. B) Trombo intraventricular aspecto pediculado y móvil. C) Reconstrucción tridimensional de TAC con contraste que muestra defecto de repleción compatible con embolismo renal. D) Imagen ecocardiográfica que muestra ausencia de trombo intraventricular.

en el polo superior del riñón izquierdo de morfología triangular, presentando en la fase arterial defecto de replección en una rama polar superior de la arteria renal izquierda compatible con un émbolo, hallazgos sugerentes de embolismo renal izquierdo e infarto secundario (*fig. 1C*).

Tras consultar con el servicio de cirugía vascular, se trató manteniendo anticoagulación y doble antiagregación (ácido acetilsalicílico + clopidogrel) junto con analgesia, y ciprofloxacino para profilaxis de sobreinfección. La evolución clínica fue favorable, y un ecocardiograma de control pre-alta mostró la desaparición del TI (*fig. 1D*).

El trombo mural es más frecuente en el IAMCEST, y su principal complicación es la producción de embolismos periféricos. Su incidencia actual es 2,5%<sup>1</sup>. Entre el 50 y el 75% de los trombos murales se desarrollan en las primeras 24 h tras el IAM. La ecocardiografía es la técnica diagnóstica de elección. Los trombos ecocardiográficamente grandes y móviles tienen un riesgo relativamente alto de embolismo sistémico<sup>2,3</sup>, y éste puede ser disminuido con la administración precoz de heparina intravenosa durante 48 h<sup>4</sup>, continuando con anticoagulación durante 3 a 6 meses.

La obliteración aguda de una arteria renal sana es consecuencia casi siempre de una embolia proveniente del lado izquierdo del corazón, aneurisma ventricular o aórtico proximal. La prueba «gold standard» para su diagnóstico es la arteriografía renal, pero por su carácter invasivo en la práctica clínica se utiliza la tomografía computarizada con contraste<sup>5</sup>. El tratamiento se basa en anticoagulación con heparina intravenosa o anticoagulantes orales con o sin

trombólisis. Se prefiere trombólisis local para minimizar los efectos sistémicos<sup>6</sup>. La función renal se suele recuperar, y es rara la necesidad de hemodiálisis<sup>7</sup>.

El interés de nuestro caso radica en la importancia de tener en cuenta, pese a su baja frecuencia, el embolismo renal como posible complicación de un TI post-IAM.

## Aclaraciones

A pesar de que en la escasa literatura existente aparece la heparina sódica como primera elección en el manejo de la embolia renal, en nuestro hospital se optó por usar heparina de bajo peso molecular (HBPM) por la mayor dificultad que suponía el control de anticoagulación con heparina sódica pese a la logística del hospital. No obstante, hay otros casos publicados en la literatura (p. ej., Fraile et al<sup>8</sup>) donde se utiliza HBPM para su tratamiento.

## BIBLIOGRAFÍA

- Zielinska M, Kaczmarek K, Goch JH. Left ventricle mural thrombus early after acute myocardial infarction. *Pol Merkur Lekarski*. 2007;22:249–53.
- Reeder GS, Gers BJ. Modern management of acute myocardial infarction. *Curr Probl Cardiol*. 1997;22:159–245.
- Chatterjee K. Complications of acute myocardial infarction. *Curr Probl Cardiol*. 1993;18:1–79.

- 
4. The SCATI Group. Randomized controlled trial of subcutaneous calcium-heparin in acute myocardial infarction: the SCATI (Studio della Calciparina nell'Angina e nella Thrombosi ventricolare nell'Infarto) group. *Lancet*. 1989;2:182–6.
  5. Amilineni V, Lackner DF, Morse WS, et al. Contrast enhanced CT for acute flank pain caused by renal artery occlusion. *AJR*. 2000;174:105–6.
  6. Blum U, Billmann P, Krause T, et al. Effect of local low-dose thrombolysis on clinical outcome in acute embolic renal artery occlusion. *Radiology*. 1993;189:549–54.
  7. Hazanov N, Somin M, Attali M, et al. Acute renal embolism Forty-four cases of renal infarction in patients with atrial fibrillation. *Medicine*. 2004;83:292–9.
  8. Fraile P, García-Cosmes P, Lerma JL, et al. Varón de 48 años infarto renal y trombofilia. *Nefrología*. 2008;28:463–4.